



## تحلیل دینامیکی میکرولوله‌های حامل سیال واقع بر بسترهای مختلف

سید حامد میرطالبی<sup>۱</sup>، علی ابراهیمی مقانی<sup>\*۲</sup>

- ۱- دانشکده مهندسی مکانیک، دانشگاه تربیت مدرس، تهران، ایران.  
۲- باشگاه پژوهشگران جوان و نخبگان، واحد تهران جنوب، دانشگاه آزاد اسلامی، تهران، ایران.

### تاریخچه داوری:

دریافت: ۱۳۹۷/۰۴/۳۰

بازنگری: ۱۳۹۷/۰۷/۰۷

پذیرش: ۱۳۹۷/۰۸/۱۹

ارائه آنلاین: ۱۳۹۷/۰۸/۲۹

### کلمات کلیدی:

میکرولوله حامل جریان سیال، تئوری تنش کوپل اصلاح شده، مرزهای پایداری، بسترهای الاستیک و پاستنک، فرکانس مختلف

**خلاصه:** در این مقاله تحلیل دینامیکی میکرولوله‌های حامل سیال قرار گرفته بر انواع بسترهای با استفاده از تئوری الاستیسیته کوپل اصلاح یافته به طور کامل مورد بررسی قرار گرفته است. معادلات دینامیکی حاکم بر سیستم با استفاده از اصل همیلتون توسعه یافته استخراج شده‌اند. حل عددی معادله با کمک روش گالرکین انجام شده است. برای صحبت‌سنگی راه حل ارائه شده، نتایج مدل ساده‌شده با نتایج موجود در ادبیات فنی مطابقت داده شده‌اند. نمودارهای پایداری برای هر بستر استخراج شده‌اند و مطالعه جامعی برای بررسی اثرات پارامترهای مختلف همچون پارامتر مقیاس طولی ماده، قطر خارجی، بسترهای الاستیک غیریکنواخت، جزئی، سری و پاستنک انجام شده است. نتایج نشان می‌دهند با توجه به مقدار پارامتر بی بعد جرم، بسترهای الاستیک می‌توانند باعث افزایش و همچنین کاهش نواحی پایداری سیستم شوند. علاوه بر آن مشخص شده است بسترهای سری نه تنها توانایی شبیه‌سازی محیط‌های گوناگون اطراف میکرولوله را دارند، بلکه می‌توانند در طراحی بهینه میکرولوله‌ها، پایداری آن‌ها را برای محدوده‌های کاری مختلف، به صورت چشمگیری افزایش دهند.

ارتعاشات و طراحی این سازه‌ها یک مسئله چالش برانگیز دینامیکی است. به عنوان مثال در علم پزشکی از میکرو و نانولوله‌ها جهت تزریق دارو به صورت هدفمند به بافت‌های بیمار سلطانی استفاده می‌شود تا میزان مصرف دارو و اثرات جانبی آن در مقایسه با روش‌های سنتی به حداقل برسد [۵]. از دیگر کاربردهای میکرو و نانولوله‌های حامل جریان سیال می‌توان به کاربرد آن‌ها در نیمه‌هادی‌ها، ذخیره‌سازی و انتقال سیال و نیز در حسگرها و عملگرهای زیستی اشاره کرد [۶-۹]. پیشرفت‌های به دست آمده در فناوری ساخت میکرو و نانوساختارها محققان را بر آن داشته تا با ارائه مدل‌های دقیق‌تر ریاضی پیش‌بینی دقیق‌تری از رفتار دینامیکی این ساختارها داشته باشند و تطابق بهتری با نتایج آزمایشگاهی ارائه دهند. نتایج پژوهش‌ها نشان داده‌اند که مواد در مقیاس میکرو و نانو، رفتارهایی کاملاً وابسته به اندازه نشان می‌دهند. مکفارلند و همکاران [۱۰] به صورت تجربی نشان دادند خواص مواد به صورت چشمگیری با کوچک‌تر شدن ابعاد آن در مقیاس‌های میکرو و نانو به اندازه وابسته می‌شوند. به عنوان مثال

۱- مقدمه  
در سال‌های اخیر موضوع برهمنکش سیال و سازه<sup>۱</sup> به صورت گسترش‌های توسط محققین موردمطالعه قرار گرفته است. به دلیل کاربرد بسیار وسیع لوله‌های حامل جریان سیال در نیروگاه‌ها، فاضلاب و سیستم انتقال آب شهری، مبدل‌های گرمایی، راکتورهای آب جوش، دستگاه‌های تولید الکتریسیته‌ای آبی، خطوط خروجی پمپ‌ها و...، مطالعه دینامیکی این سامانه‌ها از اهمیت بسزایی برخوردار است. اولین مطالعات در این زمینه به کارهای اشلی و همکاران [۱] و نیز بنجامین [۲] بر می‌گردد. فهم عمیق دینامیک لوله‌های حامل جریان سیال به صورت تحلیلی و آزمایشگاهی توسط پایدوسیس [۳ و ۴] انجام شده است.

در دو دهه‌ی اخیر به کارگیری میکرو و نانو ساختارها در زمینه‌های مختلف علمی افزایش بسیار چشمگیری داشته است، از این‌رو، تحلیل

### 1- Fluid-solid interactions

\* نویسنده عهده‌دار مکاتبات: ebrahimimamaghani@gmail.com

حقوق مؤلفین به نویسنده‌گان و حقوق ناشر به انتشارات دانشگاه امیرکبیر داده شده است. این مقاله تحت لیسانس آفرینندگی مردمی (Creative Commons License) در دسترس شما قرار گرفته است. برای جزئیات این لیسانس، از آدرس <https://www.creativecommons.org/licenses/by-nc/4.0/legalcode> دیدن فرمائید.



این سازه‌ها مهم‌ترین مسئله‌ای است که مورد توجه محققین قرار گرفته است [۲۳]. بدون شک انتظار می‌رود که در نظر گرفتن بسترهای سامانه‌های حامل سیال، منجر به جابجایی مرزهای پایداری این سازه‌ها شود. پیش‌تر، در مقیاس مacro، لوتابی و همکاران [۲۴] یک مطالعه پارامتریک بر روی لوله‌های یکسرگیردار و دوسرگیردار انجام دادند و دریافتند علی‌رغم اینکه سرعت سیال داخلی می‌تواند نقش پایدارکننده یا ناپایدارکننده داشته باشد، اما اعمال بسترهای الاستیک، همواره نقش پایدارکننده برای سیستم ایفا می‌کنند. در پژوهشی دیگر دیجوندرو [۲۵]، ارتعاشات یک لوله یکسرگیردار بر روی بسترهای الاستیک با طول‌ها و محل‌های قرارگیری مختلفی محدودی در خصوص بررسی ارتعاشات میکرو و نانوساختارهای قرار گرفته روى بسترهای الاستیک صورت پذیرفته است. به عنوان مثال یون و همکاران [۲۶] به بررسی ارتعاشات یک نانولوله کربنی قرار گرفته بر روی یک بستر وینکلر پرداختند و دریافتند نانولوله‌های قرار گرفته بر روی بسترهای با سختی بیشتر، نسبت به سرعت سیال داخلی حساسیت کمتری دارند و ارتعاشات ناخواسته سیستم را بهتر از بین می‌برند. به‌الدینی و همکاران [۲۱] با اعمال تئوری تنش غیرمحلي<sup>۲</sup> متوجه شدند قرار دادن نانوساختار بر روی بستر علاوه بر بهبود عملکرد سازه، باعث افزایش مقادیر سرعت و فرکانس بحرانی<sup>۳</sup> می‌شوند. همچنین لازم به ذکر است که مطالعه اثر بسترهای مختلف بر روی عملکرد میکروسازه‌های حامل سیال به منظور افزایش پایداری و بهبود اهمیت بالایی دارد و در علوم مختلف حتی مهندسی پژوهشی نیز کاربرد فروان دارد، به عنوان مثال می‌توان برای مدل‌سازی عمل تزریق دارو در بافت‌های مختلف بدن که مشخصات مکانیکی گوناگونی دارند و یا حتی به مدل‌سازی بافت‌های متنوع بدن پرداخت.

با توجه به ضرورت طراحی سامانه‌های میکرو و نانو حاوی جریان در سرعت‌های بالا، در تحقیق پیش‌رو مطالعه‌ی جامعی بر روی رفتار دینامیکی میکرولوله حاوی جریان سیال محاط شده توسط بسترهای

آن‌ها دریافتند سفتی خمی یک میکروتیر چهار برابر بزرگ‌تر از پیش‌بینی‌های تئوری کلاسیک است. به‌منظور بررسی اثرات ابعاد، تئوری‌های اصلاح‌شده مختلفی ارائه شده‌اند. تئوری تنش کوبیل، یک تئوری الاستیسیته مرتبه بالا است که توسط میندلین و همکاران [۱۱] ارائه شد که در آن تانسور تنش کوبیل<sup>۱</sup> به صورت متقاضن در نظر گرفته می‌شود. یانگ و همکاران [۱۲] تئوری اصلاح‌شده تنش کوبیل را ارائه کردند که در آن به جای بهره‌گیری از دو شاخصه‌ی وابسته به ماده، تنها از یک پارامتر مقیاس طولی ماده استفاده می‌شود. با استفاده از این تئوری اصلاح‌شده، پارک و گائو [۱۳] به بررسی ارتعاشات عرضی یک میکروتیر اویلر برنولی پرداختند و متوجه شدند این مدل جدید، مقادیر سفتی خمی به مراتب بالاتری را پیش‌بینی می‌کند که با نتایج حاصل از بررسی‌های آزمایشگاهی تطابق خوبی دارد. علاوه بر آن وانگ و همکاران [۱۴] و نیز که و همکاران [۷] اذعان داشتند تئوری کوبیل به صورت قدرتمندی قادر به بیان رفتار دینامیکی میکروساختارها است. براید و همکاران [۵] از نانولوله‌های کربنی در تزریق داروی ضد سلطان به عدد سلطانی و تومورهای داخل و بیرون از بدن بیماران استفاده کردند و علی‌رغم نقش آن در بهبود چشمگیر درمان به چالش‌هایی همچون تعیین حدود پایداری نانولوله محاط [۱۵] شده در بافت نرم پرداختند. برای آشنایی بیشتر با جزئیات تئوری اصلاح‌شده تنش کوبیل می‌توان به مقالات [۱۶-۱۹] مراجعه کرد. لازم به ذکر است که در زمینه مدل‌سازی میکرو و نانوساختارها، نظریه‌های مختلف دیگری مانند گرادیان کرنش [۱۲] و غیرمحلي [۲۰] ارائه شده است. به عنوان مثال به‌الدینی و حسینی [۲۱] پایداری نانولوله‌های حامل سیال را در حضور میدان‌های مغناطیسی مطالعه کردند. در پژوهشی دیگر [۲۲] این نویسنده‌گان به مقایسه تئوری‌های اصلاح‌شده‌ی تنش کوبیل و گرادیان کرنش پرداختند. اما برای سازه‌های در ابعاد میکرو، تئوری اصلاح‌شده‌ی تنش کوبیل کارایی بالاتری دارد و از نقطه نظر پیچیدگی، منجر به استخراج معادلات نهایی به فرم ساده‌تری هم می‌شود که این امر نیز منجر به کاهش زمان حل در عین دقت مطلوب می‌شود [۶ و ۱۴].

مهمنترین چالش در سامانه‌های حامل جریان، ناپایداری ایجادشده در اثر حرکت سیال است و این موضوع در سال‌های اخیر توجه محققان زیادی را به خود جلب کرده است. افزایش نواحی پایداری

2 Nonlocal elasticity theory

3 Critical velocity and frequency

1 Couple stress tensor

ضریب ثابت)، غیریکنواخت (soft-shonده و نرمشونده)، بستر جزئی (با طول و ضریب الاستیک متغیر)، بستر سری (ضریب الاستیک با توابع چندجمله‌ای) و همچنین بستر برشی پاسترناک نیز محاط شده است. چگالی انرژی کرنشی تابعی همزمان از تانسورهای تنش و انحنا است و برای جسمی که حجم  $S$  را اشغال کرده است به صورت زیر نوشته می‌شود [۱۲]:

$$U = \int_S (\sigma_{ij} \varepsilon_{ij} + m_{ij} \chi_{ij}) dv \quad (i, j = 1, 2, 3) \quad (1)$$

که در آن  $\sigma_{ij}$ ,  $\varepsilon_{ij}$ ,  $m_{ij}$  و  $\chi_{ij}$  به ترتیب بیانگر تانسورهای تنش کرنش، قسمت انحرافی تنش کوپل و نیز قسمت متقارن تانسور انحنا می‌باشند. این پارامترها به صورت رابطه (۲) تا (۵) تعریف می‌شوند:

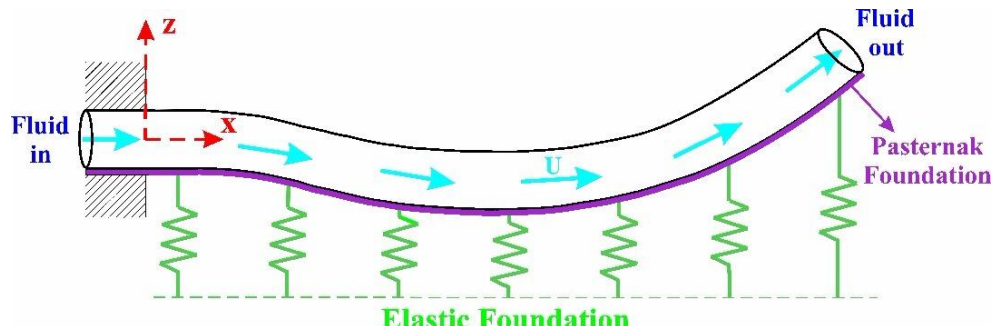
$$\sigma_{ij} = \lambda \text{tr}(\varepsilon_{ij}) \delta_{ij} + 2G \varepsilon_{ij} \quad (2)$$

$$\varepsilon_{ij} = \frac{1}{2} [\nabla u_i + (\nabla u_i)^T] \quad (3)$$

$$m_{ij} = 2\ell G \chi_{ij} \quad (4)$$

$$\chi_{ij} = \frac{1}{2} [\nabla \theta_i + (\nabla \theta_i)^T] \quad (5)$$

که در آن  $\lambda$  و  $G$  نمایانگر ثابت اول و دوم لامه<sup>۱۰</sup> و نیز پارامتر مقیاس طولی ماده می‌باشند. همچنین پارامترهای  $u_i$  و  $\theta_i$  نشان‌دهنده مؤلفه‌های سرعت و دلتای کرونکر<sup>۱۱</sup> می‌باشند. بردار چرخش<sup>۱۲</sup> نیز  $\theta$  به صورت رابطه (۶) بیان می‌شود:



شکل ۱- تصویر شماتیک میکروولوه یکسرگیردار حاوی جریان سیال داخلی مستقر بر بستر

Fig 1. Schematic of a fluid conveying micro-tube embedded in elastic and Pasternak foundations

- 10 Lame constants
- 11 Kronecker
- 12 Rotation vector

الاستیک مختلف نظیر وینکلر<sup>۱</sup>، غیریکنواخت<sup>۲</sup>، جزئی<sup>۳</sup>، سری<sup>۴</sup> و بسترها پاسترناک<sup>۵</sup> انجام شده است. مهم‌ترین مشخصه دینامیکی این سازه‌ها، یعنی سرعت‌ها و فرکانس‌های بحرانی به دست آمده و مورد تحلیل و بررسی قرار گرفته‌اند. همچنین اثر پارامترهای همچون پارامتر مقیاس طولی ماده<sup>۶</sup> و قطر خارجی بر روی پاسخ دینامیکی موردنبررسی قرار گرفته‌اند. در این مقاله معادله‌ی حرکت و شرایط مرزی متناظر به دست آمده از اصل توسعه‌یافته همیلتون<sup>۷</sup>، با کمک روش گالرکین<sup>۸</sup> جداسازی شده و یک مسئله مقدار ویژه<sup>۹</sup> به صورت عددی حل شده است. نمودارهای پایداری رسم شده و اثر اعمال انواع بسترها و مشخصه‌های آن‌ها با توجه به ویژگی‌های سیستم بررسی شده‌اند. نتایج نشان داده‌اند که پارامتر مقیاس طولی و نیز انواع مختلف بسترها تأثیری شگرف در پایداری سیستم دارند و در نظرگیری نقش آن‌ها در پاسخ دینامیکی سیستم غیرقابل انکار است.

## ۲- مدل‌سازی ریاضی

در شکل ۱ شماتیک یک میکروولوه به طول  $L$  و قطر داخلی  $D$  دارای جرم بر واحد طول  $m$  و سفتی خمشی  $EI$  حاوی جریان سیال با جرم بر واحد طول  $M$  نشان داده شده است. یک دستگاه مختصات کارتزین در سمت چپ لوله در نظر گرفته می‌شود که محور  $x$  آن در جهت طول لوله قرار گفته است. میکروولوه توسط بسترها الاستیک مختلفی از جمله بستر وینکلر (الاستیک با

<sup>1</sup> Winkler

<sup>2</sup> Variable

<sup>3</sup> Partial

<sup>4</sup> Series

<sup>5</sup> Pasternak

<sup>6</sup> Material length Scale parameter

<sup>7</sup> Extended Hamilton

<sup>8</sup> Galerkin

<sup>9</sup> Eigenvalue

$$T_i = T_p + T_f = \frac{1}{2} \left\{ m \int_0^L \left[ \left( \frac{\partial w(x,t)}{\partial t} \right)^2 dx + M \int_0^L \left[ \left( \frac{\partial w(x,t)}{\partial t} \right)^2 + V \left( \frac{\partial w(x,t)}{\partial x} \right)^2 + V^2 \right] dx \right] \right\} \quad (14)$$

کار انجامشده توسط بسترها الاستیک و پاسترناک ( $W_b$ ) به صورت رابطه (۱۵) می‌باشد [۲۱]:

$$W_b = \int_0^L k_w(x) w(x,t)^2 dx - \int_0^L k_w \frac{\partial^2 w(x,t)}{\partial x^2} dx \quad (15)$$

که  $k_w$  و  $k_G$  به ترتیب مدول الاستیستی وینکلر و پاسترناک می‌باشدند. اصل همیلتون برای لوله‌های مقید به صورت رابطه (۱۶)

$$\delta \int_{t_1}^{t_2} L dt = 0 \quad (16)$$

که در آن  $L = T_T - U + W_b$  است. با جایگذاری روابط (۱۳) و (۱۴) در رابطه (۱۶)، معادله دینامیکی حاکم بر میکروولوه حاوی جریان سیال به همراه شرایط مرزی به دست می‌آید:

$$(EI + GA\ell^2) \frac{\partial^4 w(x,t)}{\partial x^4} + MV^2 \frac{\partial^2 w(x,t)}{\partial x^2} + (m+M) \frac{\partial^2 w(x,t)}{\partial t^2} + 2MV \frac{\partial^2 w(x,t)}{\partial x \partial t} + Kw(x,t) - K_G \frac{\partial^2 w(x,t)}{\partial x^2} = 0 \quad (17)$$

شرایط مرزی مسئله فوق طبق رابطه (۱۸) نوشتند:

$$(EI + GA\ell^2) \frac{\partial w^2(w,t)}{\partial x^2} \left( \delta \left( \frac{\partial w^2(w,t)}{\partial x^2} \right) \right) = 0, \quad (18)$$

$$(EI + GA\ell^2) \frac{\partial w^3(w,t)}{\partial x^3} (\delta w(x,t)) = 0$$

و در نهایت شرایط مرزی یکسرگیردار طبق رابطه (۱۹) نوشتند:

$$w(0,t) = \frac{\partial w(0,t)}{\partial x} = 0, \quad \frac{\partial w^2(0,t)}{\partial x^2} = \frac{\partial w^3(0,t)}{\partial x^3} = 0 \quad (19)$$

جهت سهولت در فرآیند تحلیل نتایج، پارامترهای بی بعد رابطه (۲۰) در معادله دینامیکی (رابطه (۱۷)) جایگذاری می‌شوند:

$$\eta = \frac{w}{L}, \xi = \frac{x}{L}, \tau = \frac{t}{L^2} \sqrt{\frac{EI}{M+m}}, k_w(\xi) = \frac{L^4}{EI} K_w \left( \frac{x}{L} \right), \quad (20)$$

$$k_G(\xi) = \frac{L^2}{EI} K_G \left( \frac{x}{L} \right), \beta = \frac{M}{M+m} u = LV \sqrt{\frac{M}{EI}}, \theta = \frac{8\ell^2}{(1+\nu)(1+\alpha^2)D}$$

$$\theta = \frac{1}{2} \nabla \times \vec{u} \quad (6)$$

در اینجا فرض می‌شود دیوارهای میکروولوه در طی حرکت ارتعاشی به اندازه‌ای ضخیم هستند که شکل دایروی سطح مقطع آن بدون تغییر باقی می‌ماند. بنابراین با توجه به تئوری اویلر-برنوی می‌توان مؤلفه‌های جابجایی را به صورت رابطه (۷) در نظر گرفت:

$$u = -z \psi(x,t), v = 0, w = w(x,t) \quad (7)$$

زاویه چرخش خط میانی میکروولوه را می‌توان به صورت رابطه (۸) تقریب زد:

$$\psi(x,t) \approx \frac{\partial w(x,t)}{\partial x} \quad (8)$$

با استفاده از روابط (۳) و (۷) و (۸) تنشهای کوچی<sup>۱</sup> به صورت رابطه (۹) نوشتند:

$$\sigma_{xx} = -Ez \frac{\partial^2 w(x,t)}{\partial x^2}, \sigma_{xy} = \sigma_{xz} = \sigma_{yz} = \sigma_{zz} = \sigma_{yy} = 0 \quad (9)$$

با در نظر داشتن رابطه (۸) می‌توان نوشت:

$$\theta_y = -\frac{\partial w(x,t)}{\partial x}, \theta_x = \theta_z = 0 \quad (10)$$

همچنین با استفاده از روابط (۵) و (۱۰) می‌توان نوشت:

$$\chi_{xy} = -\frac{1}{2} \frac{\partial^2 w(x,t)}{\partial x^2}, \chi_{xx} = \chi_{yy} = \chi_{zz} = \chi_{xz} = \chi_{yz} = 0 \quad (11)$$

با استفاده از روابط (۴) و (۱۱)، رابطه (۱۲) حاصل می‌شود:

$$m_{xy} = -G\ell^2 \frac{\partial^2 w(x,t)}{\partial x^2}, m_{xx} = m_{yy} = m_{zz} = m_{zx} = m_{yz} = 0 \quad (12)$$

با توجه به رابطه (۱) داریم:

$$U = \frac{1}{2} \int_0^L (EI + GA\ell^2) \left( \frac{\partial^2 w(x,t)}{\partial x^2} \right) dx \quad (13)$$

که در آن A سطح مقطع و I ممان دوم سطح مقطع میکروولوه است. در رابطه (۱۳) جمله اول و دوم به ترتیب مربوط به انرژی کرنشی خمسی و تغییر شکل برشی است. انرژی جنبشی میکروولوه حاوی جریان سیال نیز به صورت رابطه (۱۴) نوشتند می‌شود [۴ و ۲۷]:

<sup>۱</sup> Cauchy

جدول ۱- فرمولاسیون نیروی انواع بسترها  
Table 1. Load distribution of various foundations

نیرو	عنوان
$k_0$	بستر ویبلکر
$K(\xi) = K_0 [4(1-\gamma)(\xi^2 - \xi) + 1], \gamma > 1$	بستر غیریکنواخت سفت‌شونده
$K(\xi) = K_0 [4(1-\gamma)(\xi^2 - \xi) + 1], \gamma < 1$	بستر غیریکنواخت سخت‌شونده
$K(\xi) = K_0 [H(\xi - \xi_{f_0}) - H(\xi - \xi_{f_1})]$ $c_0 + \sum_{m=1}^p c_m \xi^m$ $K_G \frac{\partial^2 \eta}{\partial \xi^2}$	بستر جزئی بستر سری بستر پاسترناک

همچنین مقدار پارامتر دارای بعد مقیاس طولی  $\mu m = / \text{mm}^6$  در نظر گرفته شده است [۲۲-۲۳ و ۱۴-۷]. لازم به ذکر است که این پارامتر دارای وابستگی به جنس ماده نمی‌باشد و مبنای انتخاب مقادیر مقیاس‌های طولی ماده در پژوهش حاضر، براساس جنس ماده و نتایج آزمایشگاهی (ماده اپوکسی) بوده است.

### ۳-۱- صحبت‌سننجی

برای مقایسه نتایج حاضر با نتایج موجود در ادبیات فنی از تقریب ۸ مود استفاده شده است. ابتدا از اثرات بستر صرف‌نظر شده و نتایج به دست آمده با نتایج مرجع [۲۲] مقایسه شده است. همچنین با صرف‌نظر کردن از اثرات ابعاد کوچک، نتایج با نتایج حالت ماکرو در مرجع [۲۲] مورد مقایسه قرار گرفته‌اند.

در شکل ۲ محورهای افقی و عمودی به ترتیب نمایانگر سرعت بی‌بعد و فرکانس‌های طبیعی سیستم هستند. با افزایش سرعت سیال داخلی فرکانس نوسانات سیستم کاهش پیدا می‌کنند تا نهایتاً به صفر می‌رسد. در این نقطه انشعاب فلاٹر مود-کوپل<sup>۱</sup> رخ می‌دهد. هنگامی که قسمت موهومی یکی از فرکانس‌های طبیعی سازه‌های حامل از محور افقی عبور کند (قسمت موهومی فرکانس، مقدار منفی داشته باشد)، سازه پایداری خود را از دست می‌دهد و ناپایداری فلاٹر (نوسانی) را تجربه می‌کند. در این حالت سازه از سیال در حال حرکت ارزی دریافت می‌کند و دامنه حرکت آن رفته رفته افزایش می‌یابد. همچنین یکی از انشعابات که در نمودارهای مرتبط با پاسخ دینامیکی لوله‌های حامل سیال رخ می‌دهد، انشعاب فلاٹر مود-کوپل می‌باشد که در آرگاند دیاگرام هنگامی که دو شاخه مکان هندسی فرکانس‌های

که در آن  $\alpha = \frac{d}{D}$  است. بنابراین شکل بی‌بعد معادله دینامیکی حاکم بر سیستم به همراه شرایط مرزی متناظر با آن به صورت رابطه (۲۱) خواهد بود:

$$(1+\theta) \frac{\partial^4 \eta}{\partial \xi^4} + u^2 \frac{\partial^2 \eta}{\partial \xi^2} + 2\sqrt{\beta} u \frac{\partial^2 \eta}{\partial \xi \partial \tau} + \frac{\partial^2 \eta}{\partial \tau^2} + K_w(\xi) \eta - K_G \frac{\partial^2 \eta}{\partial \xi^2} = 0 \quad (21)$$

$$\eta(0, \tau) = \frac{\partial \eta(0, \tau)}{\partial \xi} = 0, \frac{\partial \eta^2(0, \tau)}{\partial \xi^2} = \frac{\partial \eta^3(0, \tau)}{\partial \xi^3} = 0 \quad (22)$$

### ۱-۲- روش گالرکین

در این بخش جهت تفکیک معادله مشتق جزئی حرکت از روش گالرکین استفاده شده است. توابع وزنی مناسب  $\eta$  که شرایط مرزی ضروری مسئله را ارضاء می‌کنند، در نظر گرفته شده‌اند. جابجایی‌های عرضی نرمال شده را می‌توان به کمک سری بیان شده در رابطه (۲۳) تقریب زد [۲۸-۳۰]:

$$\eta(\xi, \tau) = \sum_{r=0}^n \varphi_r(\xi) q_r(\tau) \quad (23)$$

که در آن  $q_r(\tau)$  و  $\varphi_r(\xi)$  به ترتیب نمایانگر تعداد مودهای در نظر گرفته شده، مختصات عمومی و مودهای طبیعی ارتعاشات عرضی تیر متناظر با شرایط مرزی میکروولوله تحت بررسی می‌باشند. با جایگذاری این سری در معادله حرکت بی‌بعد (رابطه (۲۱)), معادله زمانی سیستم به صورت ماتریس به دست می‌آید:

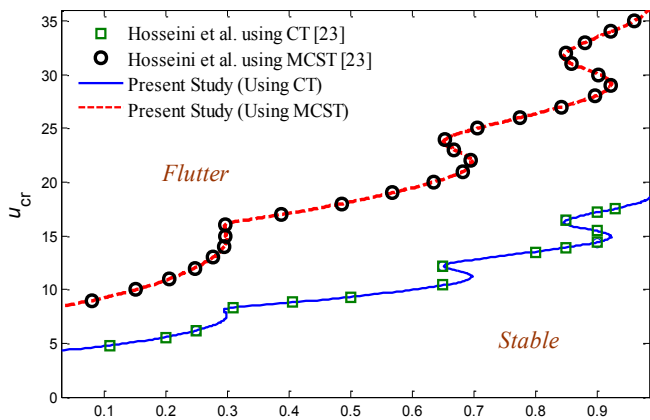
$$[M] \{ \ddot{q}(\tau) \} + [C] \{ \dot{q}(\tau) \} + [K] \{ q(\tau) \} = 0 \quad (24)$$

مقادیر ویژه ( $\lambda_r$ ) و بردارهای ویژه متناظر با آن‌ها، با حل مسئله مقدار ویژه رابطه (۲۴) به دست می‌آیند [۳].

توجه به این نکته ضروری است که  $i = \sqrt{-1}$  که در آن قسمت حقیقی و موهومی فرکانس به ترتیب با فرکانس طبیعی و میرایی سیستم در ارتباط هستند.

### ۳- نتایج و بحث‌ها

ماده سازنده میکروولوله همگن، ایزوتروپ و الستیک خطی است. مشخصات فیزیکی و مادی آن نیز در ادامه بیان شده است:  
 $\alpha = d / D = 0.35$ ,  $\rho_p = \rho_f = 1000 \text{ kg/m}^3$ ,  $GPa = 1/44$  و  $E = 20 \text{ GPa}$  و  $v = 0.8$ .



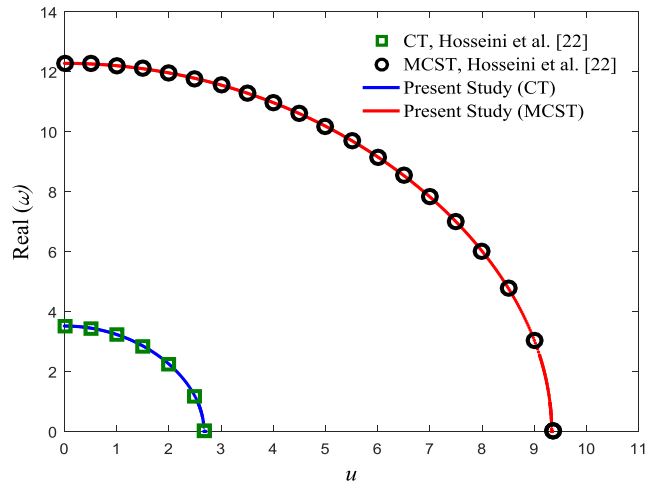
شکل ۳- مرزهای ناپایداری فلاٹر برحسب پارامتر بی بعد جرم برای  $D = 20\mu\text{m}$ ,  $KG = Kw = 0$

Fig 3. Validation of flutter instability boundaries in terms of  $\beta$ ;  $D = 20\mu\text{m}$ ,  $KG = Kw = 0$

تدریجی ارتعاشات و نوسانات سیستم است. در این صورت سیستم انرژی ازدستداده و پس از مدت زمان مشخصی به حالت سکون می‌رسد. در غیر این صورت، سیستم از سیال در حال حرکت انرژی دریافت کرده و دامنه ارتعاشات سیستم به تدریج افزایش پیدا می‌کند. قسمت‌های S شکل در نمودار در ارتباط با توالی ناپایداری-پایداری مجدد-ناپایداری<sup>۳</sup> می‌باشند که قسمت‌های با شیب منفی در ارتباط با آستانه‌ی پایداری مجدد می‌باشند. با توجه به شکل ۳ مشخص است که مدل تنش کوپل اصلاح شده، سرعت‌های بحرانی به مراتب بالاتری نسبت به تئوری کلاسیک پیش‌بینی می‌کند. بنابراین در نظر گرفتن اثرات ابعاد کوچک، منجر به پیش‌بینی سیستمی پایدارتر خواهد شد. در شکل ۳ نیز، اگرچه S شکل‌های واضح‌تری در منحنی بالای مشاهده می‌شوند اما تعداد این پرش‌ها ثابت باقی می‌مانند.

### ۲-۳- تأثیرات پارامتر مقیاس طولی ماده

در شکل ۴ تأثیر پارامتر مقیاس طولی بر نواحی پایداری و فلاٹر میکرولوله یکسرگیردار به خوبی نشان داده شده است. در شکل ۴ (الف) و (ب) نمودارهای پایداری برای سرعت‌ها و فرکانس‌های بحرانی برحسب پارامتر بی بعد جرم برای سه مقدار مختلف پارامتر بی بعد جرم رسم شده‌اند. با کاهش مقدار این پارامتر، سرعت‌ها و فرکانس‌های بحرانی کاهش پیدا می‌کنند. همچنین با افزایش مقدار  $\beta$ ، قسمت‌های S واضح‌تری در همه منحنی‌ها پیدا می‌کنند. این پدیده به



شکل ۲- مقایسه فرکانس‌های طبیعی مود اول با کمک تئوری‌های کلاسیک و کوپل اصلاح شده و ۰

Fig 2. Comparison of the first mode natural frequencies based on couple stress and classical theories as a function of flow velocity;  $D = 10\mu\text{m}$ ,  $KG = Kw = 0$

لوله، با افزایش سرعت سیال درونی بر روی محور موهومی به هم برخورد کند یا از هم جدا شوند [۲۳]. نتایج به دست آمده از راه حل ارائه شده، برای هر دو تئوری کلاسیک<sup>۱</sup> و نظریه کوپل اصلاح شده<sup>۲</sup> با نتایج مرجع [۲۲] تطابق دارد. مقادیر فرکانس‌های طبیعی به دست آمده توسط تئوری کوپل اصلاح شده، بالاتر از مقادیر به دست آمده از تئوری کلاسیک می‌باشند. بنابراین درنظر گیری اثرات کوچکی ماده برای استخراج نتایج قابل مقایسه با نتایج آزمایشگاهی اهمیت بالایی دارد [۱۰ و ۳۱]. در حقیقت در نظر گرفتن اثرات اندازه، باعث تعویق در رخداد انشعابات فلاٹر مود-کوپل می‌شود. همچنین با بررسی‌های بیشتر به راحتی مشخص می‌شود تنها زمانی که مقدار پارامتر مقیاس طولی ماده با قطر خارجی میکرو‌لوله قابل مقایسه باشد، در نظر گرفتن اثرات اندازه غیرقابل انکار است. به بیان دیگر، زمانی که قطر خارجی لوله از مقدار پارامتر مقیاس طولی بیشتر می‌شود، در نظر گرفتن ترم‌های مربوط به ابعاد میکرو در معادله حرکت تغییر چندانی در جواب ایجاد نخواهد کرد. اما زمانی که قطر میکرو لوله کوچک‌تر می‌شود این ترم‌ها بسیار با اهمیت می‌شوند.

در شکل ۳ مرزهای پایداری مدل تحت مطالعه مشاهده می‌شوند. سیستم تنها برای مقادیری از سرعت سیال که زیر منحنی قرار می‌گیرند پایدار بوده و در غیر این صورت ناپایدار شده و پدیده فلاٹر را تجربه می‌کند. قرار گرفتن در زیر منحنی به معنی از بین رفتن

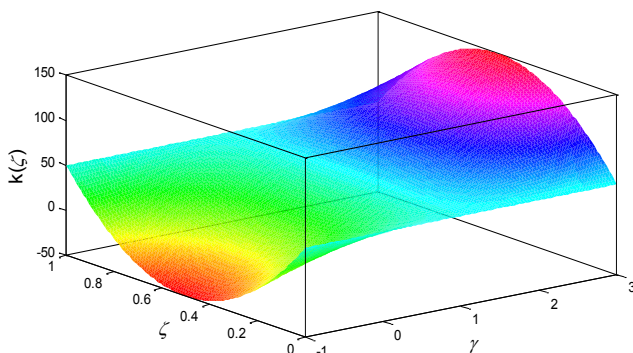
1 Classical Theory (CT)

2 MCST

نرم‌شونده<sup>۱</sup>، وینکلر و سفت‌شونده<sup>۲</sup> در نظر گرفته شده و نقش آن در پایداری سیستم بررسی شده است. توزیع مدول الاستیک بستر غیریکنواخت، طبق رابطه (۲۵) (بیان می‌شود [۲۵]):

$$K(\xi) = K_0 \left[ 4(1-\gamma)(\xi^2 - \xi) + 1 \right] \quad (25)$$

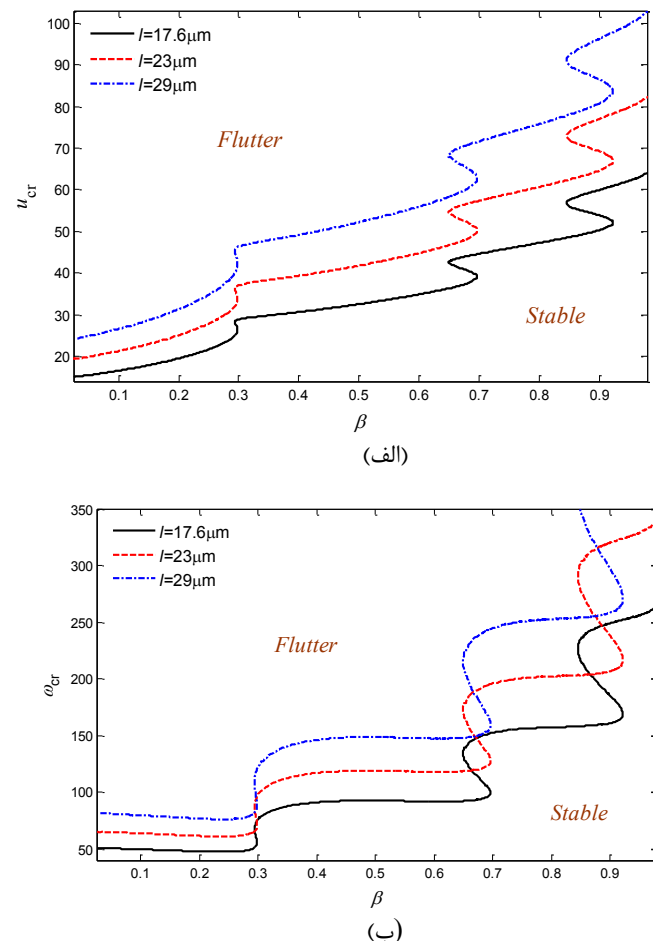
که در آن  $k_0$  ضریب ثابت بستر و  $\gamma$  ضریب بستر متغیر هستند. توزیع مدول الاستیک بستر را در شکل ۵ می‌توان مشاهده کرد. در شکل ۵ می‌توان مشاهده کرد که  $\gamma < 1$  متناظر با بستر نرم‌شونده است، اما  $\gamma > 1$  متناظر با بستر سفت‌شونده می‌باشند. در حالت اول دو انتهای بستر سفت‌تر از قسمت‌های میانی بوده، در حالی که در حالت دوم بستر حالت محدب شکل داشته و میانه آن سفت‌ترین محل آن خواهد بود. در حالتی که  $\gamma = 1$  باشد نیز سیستم محاط در یک بستر الاستیک وینکلر است.



شکل ۵- توزیع سبدعی مدول بستر الاستیک غیریکنواخت  
Fig 5. The 3-D dimensionless variable foundation modulus distribution of relation

شکل ۶ به‌هدف بررسی تأثیر قطر خارجی بر روی مقادیر سرعت‌های بحرانی ( $U_{cr}$ ) و برای سه مقدار متفاوت از پارامتر  $\gamma$  ترسیم شده است. واضح است برای  $\gamma = 1, 3$  وجود بستر مخصوصاً برای مقادیر بزرگ‌تر قطر خارجی پایداری سیستم را به میزان چشمگیری افزایش می‌دهد. لازم به ذکر است که برای  $\gamma = -1$  وجود بستر فقط برای  $D < 5/\mu\text{m}$  منجر به افزایش پایداری و در مقادیر بزرگ‌تر از این مقدار، منجر به کاهش نواحی پایداری می‌شود؛ نتیجه‌ای که غیرقابل انتظار است.

با کوچک‌تر شدن قطر خارجی تفاوت میان منحنی‌ها رفت‌رفته کاهش پیدا می‌کنند و درنهایت همه آن‌ها به منحنی حالت بدون بستر



شکل ۴- مرزهای ناپایداری فلاتر بر حسب  $\beta$  و بر حسب سه مقدار مختلف پارامتر  $D = 10\mu\text{m}$ ,  $KG = Kw = 0$  و ۱

Fig 4. Flutter instability boundaries for three distinct values of  $\ell$  in terms of dimensionless mass ratio  $\beta$ ;  $D = 10\mu\text{m}$ ,  $KG = Kw = 0$

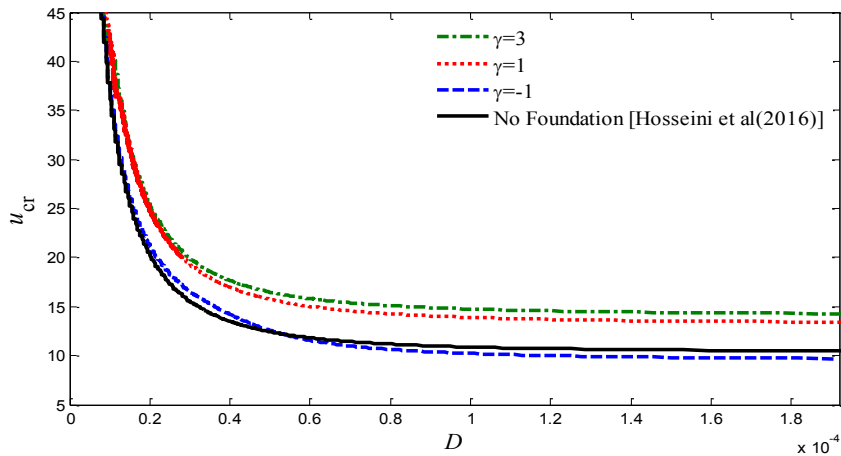
مفهوم افزایش گستره‌ی توالی ناپایداری-پایداری مجدد-ناپایداری است. همچنین مقادیر بیشتر  $\ell$  منجر به تعویق در رخداد پدیده‌ی ناپایداری فلاتر می‌شوند. بنابراین می‌توان نتیجه گرفت با افزایش پارامتر  $\ell$  سیستم سفت‌تر و همان‌طور که در شکل ۴ (ب) مشخص است، موجب افزایش فرکانس طبیعی می‌شود. ضمناً، مشابه آنچه در منحنی سرعت‌های بحرانی مشاهده می‌شود (شکل ۴ (الف)), سیستم فقط در مقادیر خاص  $\beta$  که پرش‌ها رخ می‌دهند، دچار افزایش ناگهانی در فرکانس بحرانی می‌شود.

### ۳-۳- بسترهای الاستیک غیریکنواخت

در گام اول بستر الاستیک غیریکنواخت با سه رفتار متفاوت

1 Weakening

2 Strengthening

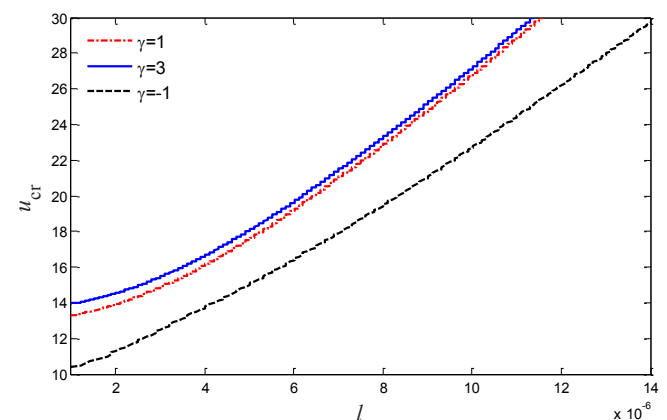


شکل ۶- منحنی ناپایداری فلاتر بر حسب قطر خارجی برای  $K_0 = 200$   
Fig 6. Flutter instability diagrams as a function of external diameter;  $k_0=200$

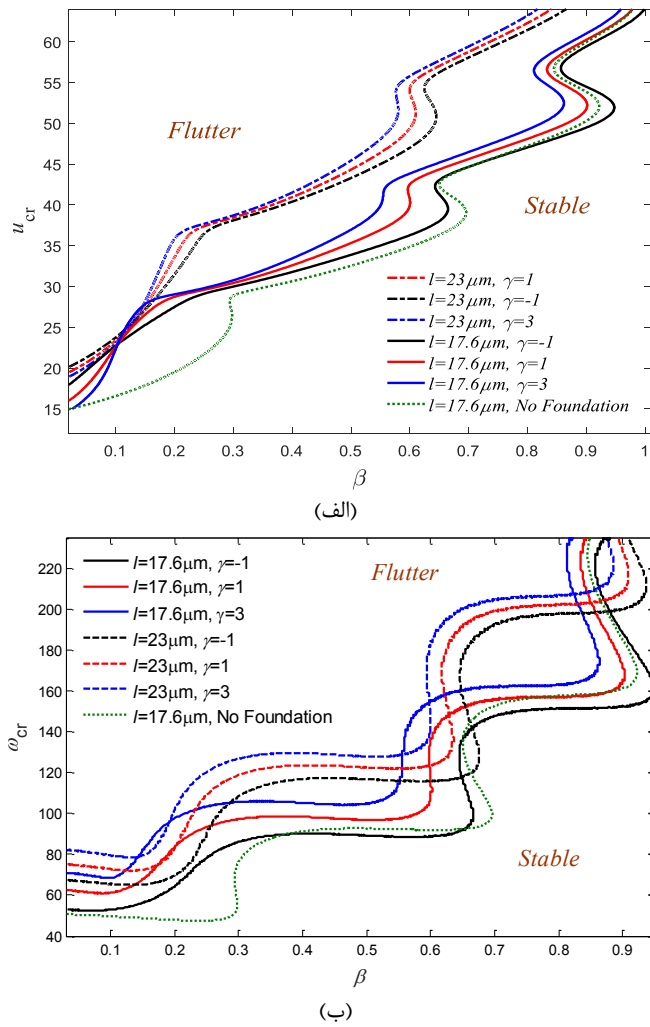
غیریکنواخت نمودارهای  $Re(\omega)$ - $u$  و همچنین  $Im(\omega)$ - $u$  رسم شده‌اند. شکل‌های ۸ (الف) و (ب) به ترتیب قسمت‌های حقیقی و موهومی مقادیر ویژه سیستم را نشان می‌دهند. همان‌طور که قبل ذکر شد قسمت‌های موهومی و حقیقی مقادیر ویژه سیستم در ارتباط با فرکانس‌های طبیعی و میرایی سیستم می‌باشند. در شکل ۸ (الف) فقط مقادیر حقیقی فرکانس مود اول سیستم نشان داده شده است چراکه توانایی آشکارسازی ویژگی‌های اصلی رفتار دینامیکی سیستم در این مود قابل نمایش است [۱۴]. با افزایش سرعت سیال، میرایی در سیستم به تدریج افزایش می‌یابد، در حالی که فرکانس سازه به‌طور پیوسته کاهش پیدا می‌کند تا در نقاط ( $i=1, 2, 3$ )  $a_i$  به صفر میل پیدا می‌کند. در این نقاط قسمت موهومی فرکانس به دو شاخه مجزا تبدیل می‌شوند. در این حالت ارتعاشات سیستم در فاصله نقاط  $a_i$  و  $b_i$  متوقف می‌شود. با افزایش بیشتر سرعت سیال پس از نقاط  $a_i$  و  $b_i$  فرکانس طبیعی سیستم دارای مقدار غیر صفر شده و سیستم مجدد شروع به نوسان می‌کند. در شکل ۸ (الف) مشخص است سفت‌تر شدن بستر باعث تعویق در رخداد انشعاب فلاتر مود-کوپل می‌شود. علاوه بر آن تغییر در مقدار پارامتر  $\ell$  بزرگی محدوده سرعتی که در آن سیستم در حالت فوق میرا قرار دارد را دستخوش تغییر نمی‌کند. همچنین مشاهده می‌شود هرچه سیستم زودتر در شرایط فوق میرا قرار گیرد، زودتر هم مجدداً به ارتعاش وداشته می‌شود. افزایش سرعت منجر به کاهش مقدار میرایی شده تا جایی که سیستم پس از رخداد فلاتر در نقاط  $c_i$  شروع به جذب انرژی از سیال کرده و دامنه ارتعاشات به تدریج افزایش پیدا می‌کند. همچنین در شکل ۸ (ب) مشاهده

سیستم میل پیدا می‌کند. لازم به ذکر است که نتایج استخراجی برای حالت بدون بستر ارائه شده، مطابقت خوبی با نتایج مرجع [۲۲] دارد. در شکل ۷ تأثیر پارامتر مقیاس طولی در یک دامنه مشخص برای سه مقدار متفاوت از پارامتر  $\gamma$  نشان داده شده است. مشاهده می‌شود با افزایش مقدار  $\gamma$  نواحی پایداری افزایش پیدا می‌کند. پدیده مهمی که در  $\mu m > \ell^{1/4}$  مشاهده می‌شود این است که در این گستره شبیب نمودار افزایش چشمگیری یافته و واپسگی نواحی پایداری سیستم به این پارامتر بهشت افزایش پیدا می‌کند. در مقادیر خارج از این گستره با تقریب خوبی می‌توان از اثرات پارامتر  $\ell$  صرف‌نظر کرد. همچنین می‌توان مشاهده کرد تفاوت منحنی‌های وینکلر و نرم‌شونده به‌مراتب بیشتر از منحنی سفت‌شونده است.

برای درک بهتر رفتار دینامیکی میکرولوله محاط در بسترها



شکل ۷- مزهای ناپایداری فلاتر بر حسب پارامتر مقیاس طولی ماده برای سه مقدار مختلف  $\gamma$   
Fig 7. Flutter instability velocity boundaries versus material length scale parameter  $\ell$

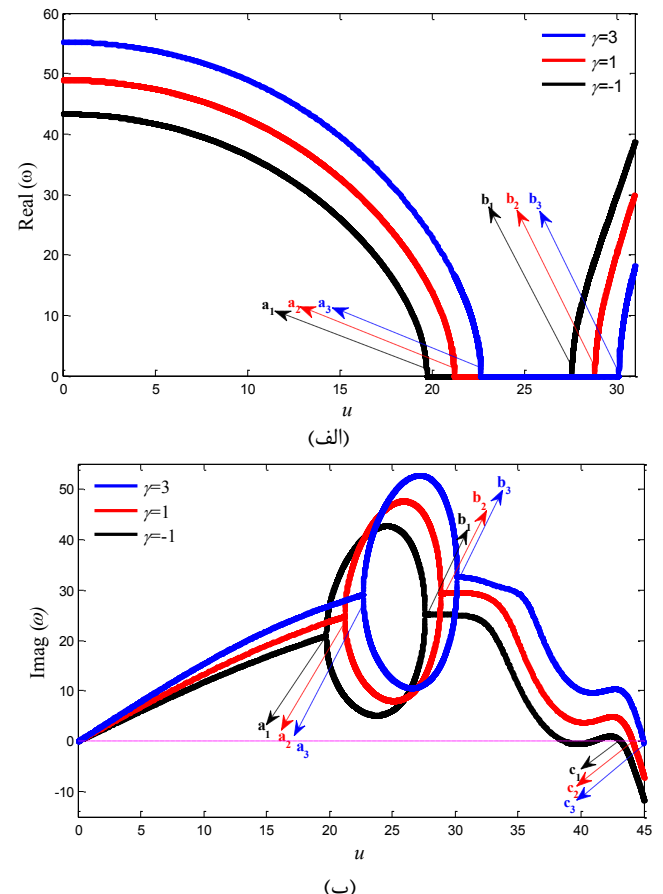


شکل ۹- (الف) سرعت‌های بحرانی (ب) فرکانس‌های بحرانی بر حسب پارامتر بی بعد جرم برای سه مقدار  $\gamma$  و  $k_0 = 600$

Fig 9. The dimensionless critical flow velocity and frequency for the flutter of a cantilevered micro-tube in terms of  $\beta$  for varying  $\gamma$ ;  $k_0=600$ ; (a) critical velocities (b) critical frequencies

ذکر شده، پایداری سیستم کاهش می‌یابد. همچنین مشاهده می‌شود افزایش پارامتر  $\ell$ ، موجب افزایش نواحی پایداری سیستم شده و درنتیجه افزایش این پارامتر را می‌توان معادل با افزایش سفتی خمی سیستم در نظر گرفت. در شکل ۹ (ب) مشاهده می‌شود جز در نواحی نزدیک پرش‌ها، با افزایش سرعت داخلی سیال فرکانس‌های بحرانی همواره روند کاهشی دارند. همچنین با افزایش  $\ell$ ، فرکانس‌های بحرانی نیز به ازای تمامی مقادیر  $\beta$  افزایش پیدا می‌کنند. به علاوه در شکل ۹ (الف) و (ب) مشاهده می‌شود اثر پارامتر  $\ell$  بر روی مکان قرارگیری S شکل‌ها، بسیار بیشتر از تأثیر پارامتر  $\gamma$  است.

در شکل ۱۰ تأثیر پارامتر  $k_0$  را بر پایداری سیستم می‌توان مشاهده کرد. در اینجا مشابه آنچه قبلاً هم دیده شد، توالی ناپایداری



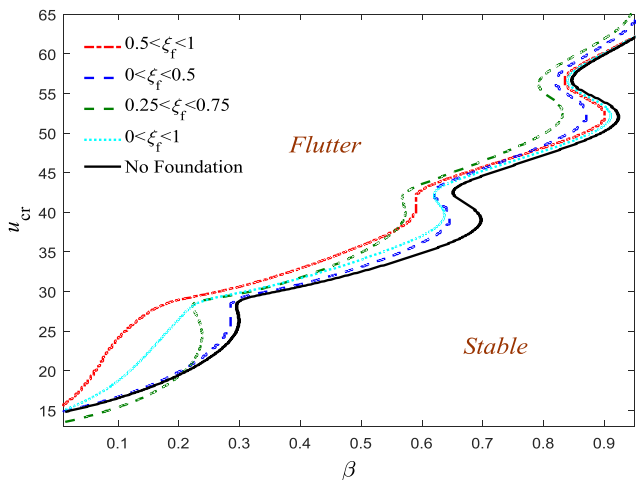
شکل ۸- تغییرات قسمت‌های حقیقی و موهومی فرکانس بر حسب سرعت (الف)

قسمت حقیقی (ب) قسمت موهومی برای  $D = 20\mu\text{m}$ ,  $\gamma = -1, 1, 3$

Fig 8. Variations of the first mode eigenfrequencies of the micro-tube;  $D=10\mu\text{m}$  predicted for  $\gamma=-1, 1, 3$  (a) Real part  
(b) Imaginary part

می‌شود با افزایش مقدار پارامتر  $\gamma$  مقدار میرایی و سرعت فلاتر در سیستم رخ می‌دهد، افزایش پیدا می‌کند. بنابراین بسترها توانایی جابجایی نقاط انشعابی سیستم را دارند.

در شکل ۹ (الف) نمودارهای پایداری برای دو مقدار مختلف پارامتر مقیاس طولی رسم شده است. برای هر مقدار مشخص از پارامتر مقیاس طولی، منحنی‌های پایداری به ازای سه  $\gamma$  مختلف ترسیم شده‌اند. همان‌طور که انتظار می‌رود بسترها نواحی پایداری سیستم را افزایش داده‌اند. با در نظر گرفتن شکل ۹ (الف) می‌توان متوجه شد با ثابت نگهداشت  $k_0$ ، افزایش پارامتر  $\ell$  به جز برای  $\ell = 17/6\mu\text{m}$  در محدوده  $11 < \beta < 20$  و همچنین برای  $\ell = 23\mu\text{m}$  در محدوده  $13 < \beta < 20$ ، پایداری سیستم افزایش می‌یابد. ذکر این نکته بسیار با اهمیت است که با افزایش سفتی بستر در محدوده‌های

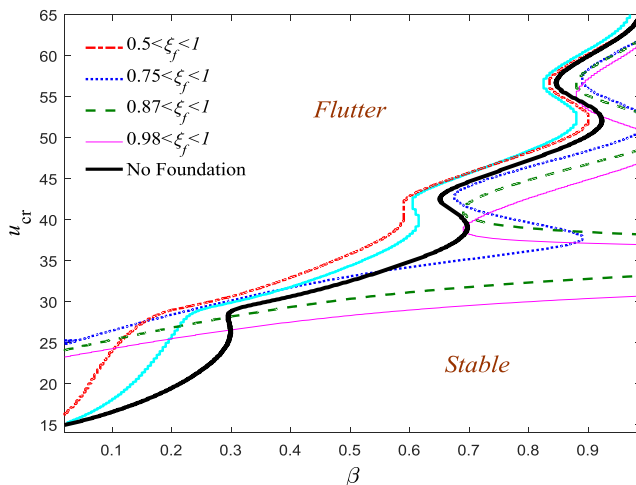


شکل ۱۱- سرعت بحرانی میکرولوله محاط شده در بستر الاستیک جزئی  
 $D = 10\mu\text{m}$   $\beta$  بر حسب

Fig 11. Flutter instability borders of a cantilevered-micro tube as a function of  $\beta$  embedded in partly supported elastic foundation;  $D = 10\mu\text{m}$

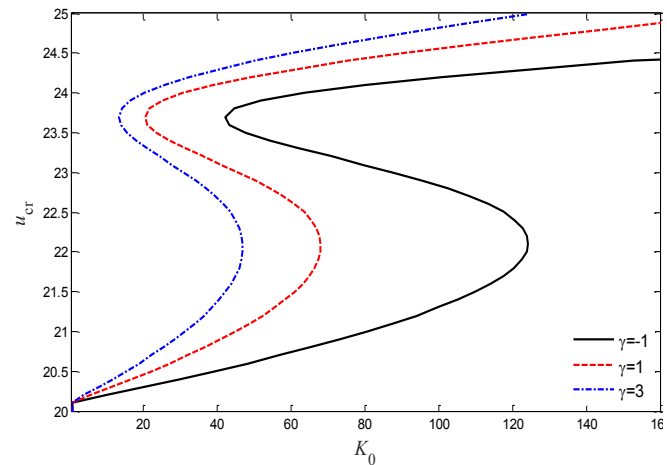
درنهایت قرار دادن بستر در میانه میکرولوله به ازای  $\beta / 2 \leq 0$ ، منجر به کمترین وضعیت پایداری می‌شود، در حالی که به ازای  $\beta \geq 0 / 55$  بیشترین پایداری حاصل خواهد بود. نتیجه‌گیری کلی که از شکل ۱۱ به دست می‌آید محاط کردن میکرولوله در بستر جزئی می‌تواند پایداری سیستم را به صورت چشمگیری افزایش دهد.

در شکل ۱۲ مرزهای پایداری میکرولوله یکسرگیردار برای بسترهای پایین دست با طول‌های مختلف (با ثابت نگهداشت سطح زیر منحنی سفتی)، نشان داده شده است. مشاهده می‌شود اعمال



شکل ۱۲- سرعت بحرانی بر حسب پارامتر  $\beta$  بعد از میکرولوله با طول‌های مختلف بستر الاستیک و  $D = 10\mu\text{m}$

Fig 12. Flutter instability borders of a cantilevered-micro tube as a function of  $\beta$  embedded in shortening elastic foundation;  $D = 10\mu\text{m}$



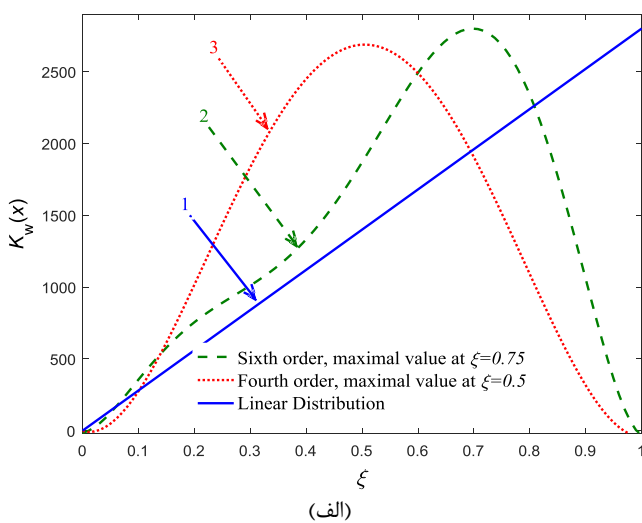
شکل ۱۰- منحنی سرعت فلاتر بر حسب مدول سفتی برای مقادیر مختلف  $\gamma$   
 $D = 20\mu\text{m}$

Fig 3. Flutter velocities as a function of stiffness modulus  $k_0$  for various values of  $\gamma$ ;  $D = 20\mu\text{m}$

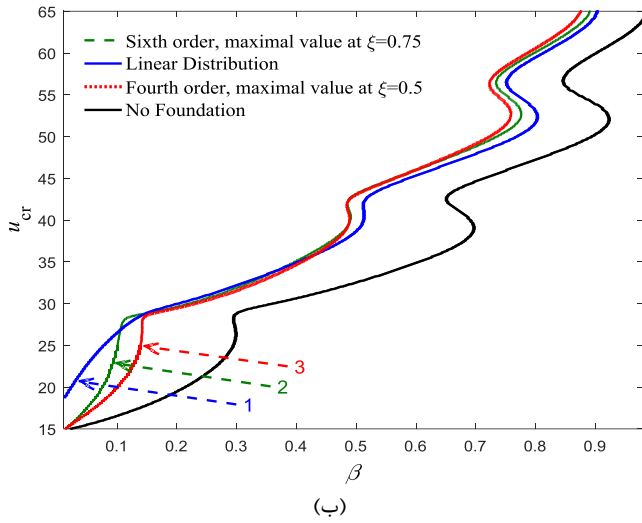
پایداری مجدد-ناپایداری رخ می‌دهد. با افزایش مقدار پارامتر  $\gamma$  این توالی در محدوده کوچکتری از پارامتر  $k_0$  رخ می‌دهد. علاوه بر این مشاهده می‌شود که این توالی برای  $\gamma = -1$  در محدوده  $k_0 < 42$  رخ می‌دهد، در حالی که به ازای  $\gamma = 3$  این توالی در محدوده  $k_0 < 10$  رخ می‌دهد. شایان ذکر است هرچه مقدار پارامتر  $\gamma$  بیشتر باشد محدوده شیب منفی منحنی کوچک‌تر خواهد شد.

#### ۴-۳- بسترهای الاستیک جزئی

در این بخش به بررسی این موضوع می‌پردازد که آیا اعمال یک بستر جزئی وینکلر که سطح زیر منحنی سفتی آن معادل سطح زیر منحنی بستر سفت‌شونده (یعنی حالت  $\gamma = 3$ ) است، پایداری سیستم را بهبود می‌دهد یا خیر؟ در این بخش طول بسته نصف طول میکرولوله فرض شده و محل قرارگیری آن در مکان‌های  $0 / 5 \leq \gamma \leq 0 / 75$ ،  $0 / 75 \leq \gamma \leq 0 / 25$  و  $0 / 25 \leq \gamma \leq 0 / 0$  در نظر گرفته شده است. در شکل ۱۱ مشاهده می‌شود قرارگیری بستر در بالا دست لوله ( $\gamma = 0 / 5$ ) وضعیت پایداری سیستم را نسبت به حالتی که میکرولوله توسط یک بستر وینکلر سرتاسری محاط شده است، به جز در محدوده  $1 / 62 \leq \beta \leq 1 / 42$  کاهش می‌دهد، اما از طرف دیگر، قرارگیری بستر در ناحیه‌ی پایین دست لوله به جز  $\beta \geq 0 / 75$  موجب بهبود چشمگیری در پایداری سیستم می‌شود.



(الف)



(ب)

شکل ۱۳-الف) توزیع سفتی سطحی بستر الاستیک سری مطابق با رابطه (۲۳) ب)

منحنی پایداری متناظر با بسترهای ارائه شده در شکل ۱۳ (الف)

Fig 13. Foundation stiffness modulus of equation (23): the coefficients of all polynomials are represented in Table1. b) The critical flow velocities in terms of mass ratio  $\beta$  embedded in series elastic foundations

بسترهای سری، در مقایسه با دیگر انواع بسترهای معرفی شده تاکنون، با توجه به محدوده عملکرد  $\beta$ ، توانایی بهبود قابل ملاحظه‌ای در پایداری سیستم دارند. به طور مثال برای بستر مثلثی شکل (منحنی شماره ۱)، در محدوده  $0 \leq \beta \leq 11/11$  بهترین پایداری به دست می‌آید، در حالی که برای منحنی شماره ۲ در محدوده  $0 \leq \beta \leq 49/49$  بهترین پایداری حاصل می‌شود. از سوی دیگر، برای مقادیر بزرگ‌تر  $\beta$ ، بستر الاستیک متقارن (منحنی شماره ۳) بهترین وضعیت از لحاظ پایداری را دارد. بنابراین با مشخص شدن محدوده پارامتر  $\beta$ ، می‌توان بستری را تعریف کرد که از لحاظ پایداری بهترین وضعیت را دارد. لازم به ذکر است که این بسترهای تقریباً توانایی شبیه‌سازی

بستر الاستیک در محدوده  $1 \leq \beta \leq 15/75$  برای  $0 \leq \xi \leq 1$  موجب پایداری سیستم شده و در غیر این صورت نواحی پایداری سیستم نسبت به دیگر حالت‌های ممکن کاهش پیدا می‌کند. مشاهده می‌شود کوچک‌تر شدن طول بستر الاستیک، به عنوان مثال تا  $4/1$  ( $0 \leq \beta \leq 98/98$ ) مخصوصاً در مقادیر بزرگ‌تر  $\beta$ ، به طور چشمگیری پایداری را کاهش می‌دهد. بنابراین برای مقادیر کوچک  $\beta$ ، می‌توان طولی از بستر را در نظر گرفت که به ازای آن پایداری بهبود یابد. همچنین کوتاه شدن طول بستر باعث بزرگ‌تر شدن محدوده رخداد S شکل‌ها و نیز تغییر مکان آن‌ها به سمت مقادیر بزرگ‌تر  $\beta$  می‌شود.

### ۵-۳-بستر سری

بسترهای الاستیک سری با درجات مختلف توانایی شبیه‌سازی تمامی بسترهای الاستیک واقعی را با دقت بسیار بالا دارا می‌باشند. در این بخش بسترهای الاستیک متقارن و غیرمتقارن به فرم چندجمله‌ای با توان‌های مختلف، طبق رابطه (۲۶) تعریف شده‌اند [۲۵]:

$$K_w(\xi) = c_0 + \sum_{m=1}^p c_m \xi^m \quad (26)$$

که در آن  $p$  حداقل توان چندجمله‌ای است. در این بخش، سه بستر مختلف معرفی می‌شوند که در شکل ۱۳ (الف) نیز سختی هر بستر بر حسب طول میکرووله نمایش داده شده است. ضرایب سری متناظر با این منحنی‌ها در جدول ۲ معرفی شده‌اند. ذکر این نکته ضروری است که سطح سفتی سیستم همان‌طور که قبل ذکر شد ثابت نگهداشته می‌شود.

منحنی‌های پایداری متناظر با منحنی‌های شکل ۱۳ (الف) در شکل ۱۳ (ب) مشاهده می‌شوند. همان‌طور که مشخص است

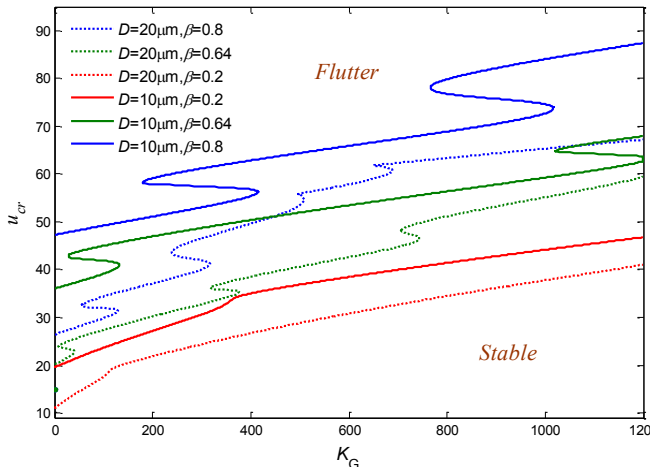
جدول ۲. ضرایب چندجمله‌ای رابطه (۲۶) نشان داده شده در شکل ۱۳ (الف)  
Table 2. Coefficients of the polynomials of equation (26)  
shown in figure 13-a

شماره نمودار	۱	۲	۳
$c_0$	۲۸۰۰	-۱۵۳۲۸۶	-۱۸۴۹
$c_1$	-۲۸۰۰	۸۰۳/۷	-۱۱۴۹
$c_2$	.	۵۴۱۸۰	۴۷۹۰
$c_4$	.	-۳۲۱۵۰۰	-۹۲۵۸
$c_5$	.	۷۸۷۷۰۰	۴۵۷۹
$c_6$	.	-۸۲۹۶۰۰	.

#### ۴- نتیجه‌گیری

در این مقاله با بهره‌گیری از تئوری تنش کوپل اصلاح شده و اصل همیلتون توسعه یافته، معادله حاکم بر حرکت یک میکرولوله یکسرگیردار حاوی جریان سیال استخراج شده است. توسط روش جداسازی گالرکین معادله دینامیکی سیستم به شکل ماتریسی بازنویسی شده است. در ادامه تأثیر پارامترهایی نظیر قطر خارجی میکرولوله، پارامتر مقیاس طولی و نیز انواع مختلف بسترهای الاستیک و پاسترناک به صورت پارامتریک مورد بحث و بررسی قرار گرفته‌اند. برخی از نتایج کلیدی به شرح زیر می‌باشند:

- ✓ پارامتر مقیاس طولی ماده نقش بسزایی در رفتار دینامیکی میکرولوله حاوی جریان سیال دارد، به طوری که افزایش پارامتر  $\beta$  روش مطمئنی برای افزایش نواحی پایداری سیستم است.
- ✓ در نظر گرفتن بسترهای الاستیک برای میکرولوله‌ها، بسته به میزان پارامتر  $\beta$  می‌تواند نقش پایدارکننده و یا ناپایدارکننده بر دینامیک میکرولوله حامل جریان سیال داشته باشد.
- ✓ برای بسترهای الاستیک غیریکنواخت، به طور کلی هر چه میزان پارامتر ثابت  $\beta$  بیشتر باشد، در سیستم استهلاک بیشتری مورد انتظار خواهد بود. از سوی دیگر در  $\beta$  های بزرگ‌تر، پدیده ناپایداری فلاٹر دیرتر رخ می‌دهد.
- ✓ منحنی  $u_{cr} - k_0$  در بسترهای الاستیک غیریکنواخت نشان می‌دهد که افزایش مقدار  $\beta$  باعث می‌شود تا توالی ناپایداری-پایداری مجدد-ناپایداری در محدوده کوچکتری از  $k_0$  رخ دهد. بنابراین مقادیر سرعت و فرکانس‌های بحرانی برای  $\beta$  های کوچک‌تر، کمتر خواهد بود.
- ✓ با ثابت نگهداشتن سطح زیر منحنی سفتی بر حسب طول میکرولوله و همچنین تعیین محدوده  $\beta$ ، می‌توان محل قرارگیری بستر الاستیک جزئی را به نحوی تعیین کرد که پایداری سیستم به طور قابل توجهی افزایش یابد. علاوه بر آن، با تعیین محدوده  $\beta$ ، با کاهش طول بستر می‌توان سیستم را بسیار پایدارتر کرد.
- ✓ با در نظر گرفتن بسترهای سری از درجات مختلف، تقریباً شبیه‌سازی هر محیط الاستیک واقعی قابل انجام است و می‌توان با تعریفتابع بهینه برای بستر پایداری سیستم را به خوبی افزایش داد.
- ✓ با بررسی نقش بستر پاسترناک بر روی نواحی پایداری سیستم مشخص شد این دسته از بسترها توانایی بالقوه‌ای نسبت



شکل ۱۴- سرعت بی بعد بحرانی سیال بر حسب  $K_G$  برای مقادیر مختلف شعاع خارجی و پارامتر بی بعد جرم

Fig 14. Dimensionless critical velocities in terms of dimensionless shearing modulus of Pasternak foundation for different external diameters and mass ratios

هر بستری از جمله بسترهای غیریکنواخت و جزئی را دارا می‌باشند.

#### ۵- بستر پاسترناک

نمودار ناپایداری فلاٹر بر حسب مقادیر مختلف مدول برشی بستر پاسترناک برای دو مقدار متفاوت از قطر خارجی میکرولوله در شکل ۱۴ نشان داده شده است. همان‌طور که مشاهده می‌شود هرگونه افزایش در مدول برشی ( $K_G$ ) سفتی سیستم و درنتیجه‌ی پایداری سیستم را به میزان قابل توجهی افزایش می‌دهد. به طور کلی مشاهده می‌شود هر چه میکرولوله دارای قطر خارجی کوچک‌تری باشد، دارای نواحی پایداری بزرگ‌تری خواهد بود. این پدیده به دلیل افزایش میزان پارامتر بی بعد کوپل  $\beta$  در قطرهای کوچک‌تر و درنتیجه افزایش سفتی سیستم است. همچنین مشاهده می‌شود که با افزایش  $K_G$  برای مقادیر کم پارامتر  $\beta$ ، منحنی پایداری تقریباً به صورت یکنواخت شیب صعودی دارد در حالی که در مقادیر بیشتر  $\beta$ ، توالی ناپایداری-پایداری مجدد-ناپایداری به صورت کاملاً مشخص دیده می‌شوند. برای مثال در  $\beta = 0.18$  و  $\beta = 0.064$  نه تنها پایداری سیستم بسیار بیشتر می‌شود بلکه  $S$  شکل‌های واضح‌تری نیز در شکل ظاهر می‌شوند. این حقیقت نشان می‌دهد که پدیده تبادل مودهای بیشتری در سیستم رخداده و مودهای متفاوتی دستخوش ناپایداری شده‌اند. درنهایت مشخص است که اثر پایدارکننده بسترهای پاسترناک، بسیار چشمگیرتر از بسترهای الاستیک است.

- theory, *Physica E: Low-dimensional Systems and Nanostructures*, 43(5) (2011) 1031-1039.
- [8] T.-Z. Yang, S. Ji, X.-D. Yang, B. Fang, Microfluid-induced nonlinear free vibration of microtubes, *International Journal of Engineering Science*, 76 (2014) 47-55.
- [9] M. Mohammadimehr, A. Mohammadi-Dehabadi, Z.K. Maraghi, The effect of non-local higher order stress to predict the nonlinear vibration behavior of carbon nanotube conveying viscous nanoflow, *Physica B: Condensed Matter*, 510 (2017) 48-59.
- [10] A.W. McFarland, J.S. Colton, Role of material microstructure in plate stiffness with relevance to microcantilever sensors, *Journal of Micromechanics and Microengineering*, 15(5) (2005) 1060.
- [11] R.D. Mindlin, Micro-structure in linear elasticity, *Archive for Rational Mechanics and Analysis*, 16(1) (1964) 51-78.
- [12] F. Yang, A. Chong, D.C.C. Lam, P. Tong, Couple stress based strain gradient theory for elasticity, *International Journal of Solids and Structures*, 39(10) (2002) 2731-2743.
- [13] S. Park, X. Gao, Bernoulli-Euler beam model based on a modified couple stress theory, *Journal of Micromechanics and Microengineering*, 16(11) (2006) 2355.
- [14] L. Wang, Size-dependent vibration characteristics of fluid-conveying microtubes, *Journal of Fluids and Structures*, 26(4) (2010) 675-684.
- [15] R. Bahaadini, A.R. Saidi, M. Hosseini, On dynamics of nanotubes conveying nanoflow, *International Journal of Engineering Science*, 123 (2018) 181-196.
- [16] S. Ahangar, G. Rezazadeh, R. Shabani, G. Ahmadi, A. Toloei, On the stability of a microbeam conveying fluid considering modified couple stress theory, *International Journal of Mechanics and Materials in Design*, 7(4) (2011) 327.
- [17] R. Ansari, R. Gholami, A. Norouzzadeh, S. Sahmani, Size-dependent vibration and instability of fluid-conveying functionally graded microshells based on the modified couple stress theory, *Microfluidics and nanofluidics*, 19(3) (2015) 509-522.

به بسترهاهای الاستیک در افزایش قابل توجه پایداری سیستم دارند. در مقادیر کمتر  $\beta$  با افزایش مدول برشی بستر پاسترناک، پایداری بهصورت یکنواخت افزایش پیدا می‌کند درحالی‌که با افزایش پارامتر بی‌بعد جرم، علی‌رغم بهبود چشمگیر پایداری، این افزایش پایداری دیگر بهصورت یکنواخت نبوده و توالی ناپایداری-پایداری مجدد-ناپایداری در نواحی S شکل منحنی رخ می‌دهند.

درنهایت نشان داده شده است که می‌توان عملکرد میکرولوله‌ها را با تعیین دقیق شرایط عملیاتی و سازه‌ای بهبود بخوبی بخوبی بهبود داد. بدون شک نتایج تحقیق حال حاضر می‌تواند برای مهندسین مکانیک و پزشکی که در امر طراحی و بهینه‌سازی سامانه‌های میکرو و نانولوله حاوی جریان سیال فعال هستند مفید باشد.

## مراجع

- [1] H. Ashley, G. Haviland, Bending vibrations of a pipe line containing flowing fluid, *Journal of Applied Mechanics-Transactions of the ASME*, 17(3) (1950) 229-232.
- [2] T.B. Benjamin, Dynamics of a system of articulated pipes conveying fluid-I. Theory, *Proc. R. Soc. Lond. A*, 261(1307) (1962) 457-486.
- [3] M.P. Paidoussis, Fluid-structure interactions: slender structures and axial flow, Academic press, 1998.
- [4] M. Paidoussis, Dynamics of tubular cantilevers conveying fluid, *Journal of Mechanical Engineering Science*, 12(2) (1970) 85-103.
- [5] A.A. Bhirde, V. Patel, J. Gavard, G. Zhang, A.A. Sousa, A. Masedunskas, R.D. Leapman, R. Weigert, J.S. Gutkind, J.F. Rusling, Targeted killing of cancer cells in vivo and in vitro with EGF-directed carbon nanotube-based drug delivery, *ACS nano*, 3(2) (2009) 307-316.
- [6] W. Xia, L. Wang, Microfluid-induced vibration and stability of structures modeled as microscale pipes conveying fluid based on non-classical Timoshenko beam theory, *Microfluidics and Nanofluidics*, 9(4-5) (2010) 955-962.
- [7] L.-L. Ke, Y.-S. Wang, Flow-induced vibration and instability of embedded double-walled carbon nanotubes based on a modified couple stress

- [25] P. Djondjorov, V. Vassilev, V. Dzhupanov, Dynamic stability of fluid conveying cantilevered pipes on elastic foundations, in, Academic Press, 2001.
- [26] J. Yoon, C. Ru, A. Mioduchowski, Flow-induced flutter instability of cantilever carbon nanotubes, International Journal of Solids and Structures, 43(11-12) (2006) 3337-3349.
- [27] A.M. Dehrouyeh-Semnani, M. Nikkhah-Bahrami, M.R.H. Yazdi, On nonlinear vibrations of micropipes conveying fluid, International Journal of Engineering Science, 117 (2017) 20-33.
- [28] A.E. Mamaghani, S. Khadem, S. Bab, Vibration control of a pipe conveying fluid under external periodic excitation using a nonlinear energy sink, Nonlinear Dynamics, 86(3) (2016) 1761-1795.
- [29] A.E. Mamaghani, S.E. Khadem, S. Bab, S.M. Pourkiaee, Irreversible passive energy transfer of an immersed beam subjected to a sinusoidal flow via local nonlinear attachment, International Journal of Mechanical Sciences, 138 (2018) 427-447.
- [30] R. Hosseini, M. Hamed, A. Ebrahimi Mamaghani, H.C. Kim, J. Kim, J. Dayou, Parameter identification of partially covered piezoelectric cantilever power scavenger based on the coupled distributed parameter solution, International Journal of Smart and Nano Materials, 8(2-3) (2017) 110-124.
- [31] M.A. Khorshidi, The material length scale parameter used in couple stress theories is not a material constant, International Journal of Engineering Science, 133 (2018) 15-25.
- [18] H. Zeighampour, Y.T. Beni, Size-dependent vibration of fluid-conveying double-walled carbon nanotubes using couple stress shell theory, Physica E: Low-dimensional Systems and Nanostructures, 61 (2014) 28-39.
- [19] A.G. Arani, M. Bagheri, R. Kolahchi, Z.K. Maraghi, Nonlinear vibration and instability of fluid-conveying DWBNNT embedded in a visco-Pasternak medium using modified couple stress theory, Journal of Mechanical Science and Technology, 27(9) (2013) 2645-2658.
- [20] A.C. Eringen, D. Edelen, On nonlocal elasticity, International Journal of Engineering Science, 10(3) (1972) 233-248.
- [21] R. Bahaadini, M. Hosseini, Nonlocal divergence and flutter instability analysis of embedded fluid-conveying carbon nanotube under magnetic field, Microfluidics and Nanofluidics, 20(7) (2016) 108.
- [22] M. Hosseini, R. Bahaadini, Size dependent stability analysis of cantilever micro-pipes conveying fluid based on modified strain gradient theory, International Journal of Engineering Science, 101 (2016) 1-13.
- [23] L. Yin, Q. Qian, L. Wang, Strain gradient beam model for dynamics of microscale pipes conveying fluid, Applied Mathematical Modelling, 35(6) (2011) 2864-2873.
- [24] I. Lottati, A. Kornecki, The effect of an elastic foundation and of dissipative forces on the stability of fluid-conveying pipes, Journal of Sound Vibration, 109 (1986) 327-338.